Rotor 28B

- Français
- English

Downloadable files
×

Open access

Git project

About

Rotor 28B is part of a research program to study the effects of aspect ratio, diffusion factor, and solidity on rotors. To do so, experimental studies have been conducted on a series of high-hub-tip-radius-ratio compressor stages representative of the middle and latter stages of axial-flow compressors. In fact, 14 middle stages were tested to assess the effects on performance of varying both diffusion through the rotor and stator blades and blade aspect ratio. Among these 14 stages, there are rotors 23B, 24A, 25A, 26B, 27A and 28B. Both the tip diameter and the hub-tip radius ratio were held constant throughout each stage at 50.8 centimeters and 0.8, respectively.

- Original technical report [(cite:britsch1979design>Britsch *et al*. «Design and overall performance of four highly loaded, high speed inlet stages for an advanced high-pressure-ratio core compressor » 1979. pdf)]:

```
@TechReport{britsch1979design,
  author           = {Britsch, Werner R. and Osborn, Walter M. and
Laessig, Mark R.},
  date             = {1979},
  institution      = {NASA Lewis Research Center Cleveland, OH, United
States},
  title            = {Effects of Diffusion Factor, Aspect Ratio, and
Solidity on Overall Performance of 14 Compressor Middle Stages},
  number           = {NASA-TP-1523},
  url              = {https://ntrs.nasa.gov/citations/19790025039},
}
```

- Picture :

Fig1. https://catalog.archives.gov/id/17446213

- ```
  @Misc{brown1975records,
  author   = {Brown, M.},
  title    = {Rotor 28B - Stator 22. {R}ecords of the {N}ational {A}eronautics and {S}pace {A}dministration, 1903 - 2006. {P}hotographs relating to agency activities, facilities and personnel, 1975 - 2013},
  url      = {https://catalog.archives.gov/id/17446213}}
  ```

Useful documents

- downloadable models (Git project)
- NASA technical report (.pdf)
- geometrical parameters file (.csv), usable as input of OpenMCAD[(cite:Kojtych_2022_gene_aubes>Kojtych S., Batailly A. «OpenMCAD, an open blade generator: from Multiple-Circular-Arc profiles to Computer-Aided Design model» 2022. open source code)] to generate reference blade models.

Reference blade

The **reference blade** is defined with multiple-circular arc profiles[(cite:Crouse_1969_computer)] given in the original NASA report[(cite:britsch1979design)]. Corresponding models are computed with the open-
  ```

source code OpenMCAD[(cite:Kojtych_2022_gene_aubes)].

Geometry

The geometry of rotor 28B is described in the original NASA report by the following tables. The length are in centimeters and the angles in degrees.

TABLE 13. – BLADE GEOMETRY FOR ROTOR 28B

RP	PERCENT SPAN	RADII RI	RO	BLADE ANGLES KIC	KTC	KOC	DELTA INC	CONE ANGLE
TIP	0.	25.400	25.400	64.08	54.88	45.13	2.47	0.057
1	5.	25.191	25.146	63.64	54.10	43.52	2.63	-0.606
2	10.	24.952	24.892	63.17	53.28	41.95	2.80	-0.901
3	15.	24.701	24.638	62.75	52.52	40.44	2.99	-0.920
4	30.	23.905	23.876	61.79	50.77	36.55	3.56	-0.401
5	50.	22.831	22.860	60.68	48.52	30.86	4.23	0.375
6	70.	21.757	21.844	59.54	46.14	24.17	4.95	1.054
7	85.	20.971	21.082	58.68	44.18	18.04	5.39	1.282
8	90.	20.730	20.828	58.38	43.17	14.75	5.53	1.112
9	95.	20.503	20.574	58.08	41.90	10.38	5.59	0.775
HUB	100.	20.320	20.320	57.82	40.76	5.60	5.66	0.057

RP	BLADE THICKNESSES TI	TM	TO	AXIAL DIMENSIONS ZIC	ZMC	ZTC	ZOC
TIP	0.051	0.188	0.051	0.702	2.319	2.253	4.362
1	0.051	0.197	0.051	0.669	2.320	2.224	4.419
2	0.051	0.207	0.051	0.634	2.320	2.191	4.473
3	0.051	0.217	0.051	0.599	2.320	2.157	4.523
4	0.051	0.250	0.051	0.515	2.316	2.055	4.645
5	0.051	0.292	0.051	0.402	2.309	1.909	4.808
6	0.051	0.332	0.051	0.279	2.303	1.744	4.983
7	0.051	0.360	0.051	0.172	2.297	1.603	5.125
8	0.051	0.369	0.051	0.120	2.296	1.541	5.192
9	0.051	0.377	0.051	0.057	2.295	1.468	5.278
HUB	0.051	0.383	0.051	-0.000	2.294	1.404	5.370

Aerodynamic design

	unit	value
pressure ratio	[-]	1.399
mass flow	[kg/s]	9.46
tip speed	[m/s]	243.8
tip solidity	[-]	1.8
aspect ratio	[-]	0.8
number of blades	[-]	45
rotative speed	[rad/s]	960.28

Material properties

The original material of the rotor 28B is not defined in the NASA report. A 200-grade maraging steel is considered:

	unit	value
alloy	[-]	18-Ni-200-maraging
Young's modulus	[GPa]	180
density	[kg/m3]	8000
Poisson's ratio	[-]	0.3

	unit	value
yield stress	[GPa]	1.38

CAD model

The CAD model is computed with the open source code OpenMCAD[(cite:Kojtych_2022_gene_aubes)].

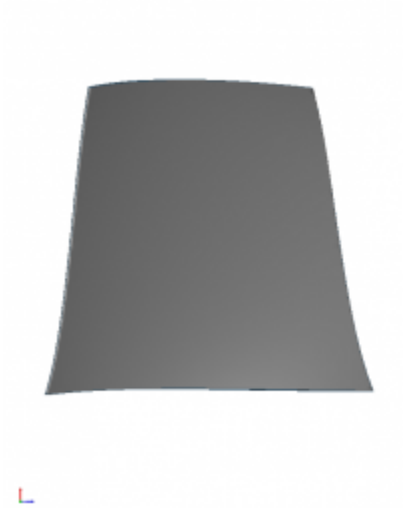

pressure side

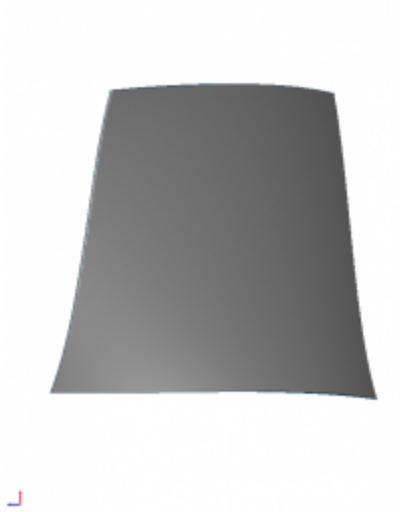

suction side

Natural frequencies

First three natural frequencies (with clamped root) for the mesh computed with OpenMCAD[(cite:Kojtych_2022_gene_aubes)]:

Mode	Type	Natural angular frequency (rad/sec)	Natural frequency (Hz)
1	1B	8345.01	1328.15
2	1T	18238.58	2902.76
3	2B	28121.40	4475.66

Initial blade

The **initial blade** is defined with in-house LAVA parameters[(cite:Kojtych_2022_Methodology)] computed from the reference blade CAD model. The initial blade is usually used as starting point for an optimization process. Its geometry is similar to the one of the reference blade.

Natural frequencies

First three natural frequencies (with clamped root)

- from the whole mesh:

Mode	Type	Natural angular frequency (rad/sec)	Natural frequency (Hz)
1	1B	8253.97	1313.66
2	1T	18215.39	2899.07
3	2B	28231.55	4493.19

- from the reduced order model:

Mode	Type	Natural angular frequency (rad/sec)	Natural frequency (Hz)
1	1B	8255.79	1313.95
2	1T	18231.98	2901.71
3	2B	28284.64	4501.64

Fichiers téléchargeables
×

Libre accès

lien vers le projet Git

À propos

Le rotor 28B fait partie d'un programme de recherche visant à étudier les effets de l’allongement, du facteur de diffusion et de la solidité des rotors. Pour ce faire, des études expérimentales ont été menées sur une série d'étages de compresseurs à fort rapport entre les rayons du moyeu et de la tête d’aube, représentatifs des étages moyens et avancés des compresseurs à flux axial. En effet, 14 étages intermédiaires ont été testés pour évaluer les effets sur les performances de la variation de la diffusion et de l’allongement des aubes. Parmi ces 14 étages, on trouve les rotors 23B, 24A, 25A, 26B, 27A et 28B. Le diamètre de l'extrémité des aubes et le rapport entre les rayons du moyeu et de la tête d’aube ont été maintenus constants tout au long de chaque étage, respectivement à 50,8 centimètres et 0,8.

- Rapport technique original [(cite:britsch1979design>)]:

```
@TechReport{britsch1979design,
  author           = {Britsch, Werner R. and Osborn, Walter M. and
Laessig, Mark R.},
  date             = {1979},
  institution      = {NASA Lewis Research Center Cleveland, OH, United
```

```
States},
  title            = {Effects of Diffusion Factor, Aspect Ratio, and
Solidity on Overall Performance of 14 Compressor Middle Stages},
  number           = {NASA-TP-1523},
  url              = {https://ntrs.nasa.gov/citations/19790025039},
}
```

- Photographie :

Fig1. https://catalog.archives.gov/id/17446213

- ```
  @Misc{brown1975records,
  author   = {Brown, M.},
  title    = {Rotor 28B - Stator 22. {R}ecords of the {N}ational
  {A}eronautics and {S}pace {A}dministration, 1903 - 2006. {P}hotographs
  relating to agency activities, facilities and personnel, 1975 - 2013},
  url      = {https://catalog.archives.gov/id/17446213}}
  ```

Documents utiles

- modèles téléchargeables (lien vers projet Git)
- rapport technique original de la NASA (.pdf)
- fichier de paramètres géométriques (.csv), utilisable en entrée de OpenMCAD[(cite:Kojtych_2022_gene_aubes>)] pour générer
  ```

> l'aube de référence

Aube de référence

L'**aube de référence** est définie par des profils de type arcs circulaires multiples[(cite:Crouse_1969_computer>Crouse *et al*. «A computer program for composing compressor blading from simulated circular-arc elements on conical surfaces » 1969. NASA-TN-D-5437. pdf)], donnés dans le rapport technique original de la NASA[(cite:britsch1979design)]. Les modèles associés sont obtenus avec le code en libre accès OpenMCAD[(cite:Kojtych_2022_gene_aubes)].

Géométrie

La géométrie du rotor 28B est décrite dans le rapport d'origine de la NASA par les tableaux suivants. Les grandeurs sont en centimètres et en degrés.

TABLE 13. - BLADE GEOMETRY FOR ROTOR 28B

RP	PERCENT SPAN	RADII RI	RADII RO	BLADE ANGLES KIC	BLADE ANGLES KTC	BLADE ANGLES KOC	DELTA INC	CONE ANGLE
TIP	0.	25.400	25.400	64.08	54.88	45.13	2.47	0.057
1	5.	25.191	25.146	63.64	54.10	43.52	2.63	-0.606
2	10.	24.952	24.892	63.17	53.28	41.95	2.80	-0.901
3	15.	24.701	24.638	62.75	52.52	40.44	2.99	-0.920
4	30.	23.905	23.876	61.79	50.77	36.55	3.56	-0.401
5	50.	22.831	22.860	60.68	48.52	30.86	4.23	0.375
6	70.	21.757	21.844	59.54	46.14	24.17	4.95	1.054
7	85.	20.971	21.082	58.68	44.18	18.04	5.39	1.282
8	90.	20.730	20.828	58.38	43.17	14.75	5.5[illegible]	1.112
9	95.	20.503	20.574	58.08	41.90	10.38	5.59	0.775
HUB	100.	20.320	20.320	57.82	40.76	5.60	5.66	0.057

RP	BLADE THICKNESSES TI	BLADE THICKNESSES TM	BLADE THICKNESSES TO	AXIAL DIMENSIONS ZIC	AXIAL DIMENSIONS ZMC	AXIAL DIMENSIONS ZTC	AXIAL DIMENSIONS ZOC
TIP	0.051	0.188	0.051	0.702	2.319	2.253	4.362
1	0.051	0.197	0.051	0.669	2.320	2.224	4.419
2	0.051	0.207	0.051	0.634	2.320	2.191	4.473
3	0.051	0.217	0.051	0.599	2.320	2.157	4.525
4	0.051	0.250	0.051	0.515	2.316	2.055	4.645
5	0.051	0.292	0.051	0.402	2.309	1.909	4.808
6	0.051	0.332	0.051	0.279	2.303	1.744	4.983
7	0.051	0.360	0.051	0.172	2.297	1.603	5.125
8	0.051	0.369	0.051	0.120	2.296	1.541	5.192
9	0.051	0.377	0.051	0.057	2.295	1.468	5.278
HUB	0.051	0.383	0.051	-0.000	2.294	1.404	5.370

Caractéristiques aérodynamiques

	unités	valeurs
taux de compression	[-]	1,399
débit massique	[kg/s]	9,46
vitesse en tête	[m/s]	243,8
solidité en tête	[-]	1,8
allongement	[-]	0,8
nombre d'aubes	[-]	45
vitesse de rotation nominale ω_n	[rad/s]	960,28

Propriétés matériau

Le matériau original du rotor 28B n'est pas défini dans le rapport de la NASA. Un acier maraging de grade 200 est considéré :

	unité	valeurs
alliage	[-]	18-Ni-200-maraging
module d'Young	[GPa]	180
masse volumique	[kg/m3]	8000
coefficient de Poisson	[-]	0,3
limite élastique	[GPa]	1,38

Modèle CAO

Le modèle CAO est obtenu avec OpenMCAD[(cite:Kojtych_2022_gene_aubes)].

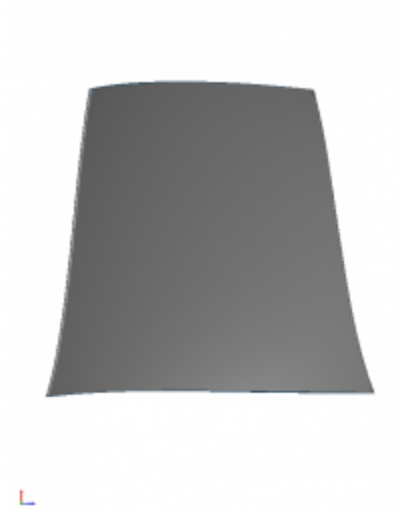

intrados

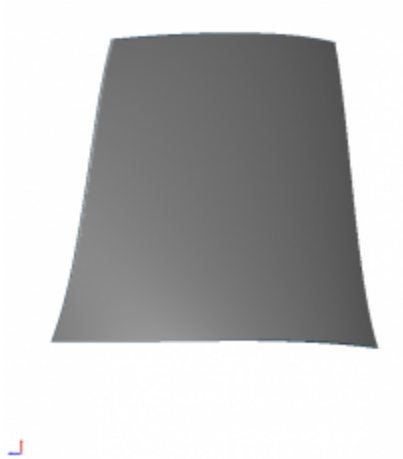

extrados

Fréquences propres

Fréquences des trois premiers modes (noeuds du pied d'aube encastrés) pour le maillage obtenu avec OpenMCAD[(cite:Kojtych_2022_gene_aubes)] :

Mode	Type	Pulsation propre (rad/sec)	Fréquence propre (Hz)
1	1F	8345,01	1328,15
2	1T	18238,58	2902,76
3	2F	28121,40	4475,66

Aube initiale

L'**aube initiale** est définie par des paramètres spécifiques au LAVA[(cite:Kojtych_2022_Methodology>Kojtych S. *et al*. «Methodology for the Redesign of Compressor Blades Undergoing Nonlinear Structural Interactions: Application to Blade-Tip/Casing Contacts » 2022. Journal of Engineering for Gas Turbines and Power, Vol. 145, No. 5. pdf)] obtenus à partir du modèle CAO de l'aube de référence. L'aube initiale est classiquement utilisée comme point de départ dans le cadre de procédures d'optimisation; sa géométrie est similaire à celle de l'aube de référence.

Fréquences propres

Fréquences des trois premiers modes (noeuds du pied d'aube encastrés),

- pour le maillage complet :

Mode	Type	Pulsation propre (rad/sec)	Fréquence propre (Hz)
1	1F	8253,97	1313,66
2	1T	18215,39	2899,07
3	2F	28231,55	4493,19

- pour le modèle réduit :

Mode	Type	Pulsation propre (rad/sec)	Fréquence propre (Hz)
1	1F	8255,79	1313,95
2	1T	18231,98	2901,71
3	2F	28284,64	4501,64

Document issu de la page wiki:
https://lava-wiki.meca.polymtl.ca/public/modeles/rotor_28b/accueil?rev=1722274043

Dernière mise à jour: **2024/07/29 13:27**